

초고압 송전선로의 최적 격상전압 선정에 관한 연구-리비아국 사례

김봉희
현대엔지니어링(주)

A STUDY ON OPTIMAL UPGRADING VOLTAGE OF EHV GRID NETWORK-LYBIA CASE

BONG-HEE KIM
HYUNDAI ENGINEERING CO., LTD.

Abstract -When a new transmission line is planned to construct, the system voltage and the conductor size of the transmission line should be decided by both economical and technical point of view. This paper presents a methodology to determine the optimal voltage for upgrading the transmission system voltage of existing the extra high voltage grid network by meeting the requirements of the transmission cost minimization as well as technical constraints of thermal limit and stability limit in the transmission line. As a case study, calculated are optimal voltages versus distance and capacity of a practically applicable transmission line with 4 bundles 2 circuits. By this study 400kV was selected as the next higher voltage for the existing 220kV Libyan grid network.

1. 서 론

한 국가에서 전력수요 증가를 예측하여 발전소 건설계획을 세우게 되며, 경제성이 있는 발전설비 규모를 구하나 보면 단위 발전설비 용량은 매우 커지게 된다. 이러한 대규모 발전설비를 건설할 때에는 전력수요지 근처에서 얻는 것은 매우 어려운 일이다. 따라서 전력생산지와 소비자 사이의 거리가 멀어지게 되어 지역간 전력수급의 불균형이 발생하며, 이 불균형을 해소하기 위하여 많은 송전 설비가 건설되어야 한다.

신규로 송전설비를 건설하려면 우선적으로 송전전압을 결정하여야 한다. 송전 용량에 따라 기준 쪽고 송전전압을 유지할 것인가 또는 전압을 적상할 것인가 하는 문제와 격상전압 무엇으로 할 것인가 하는 문제는 한 국가의 정체적 차원에서 결정하여야 할 중대한 사안이라 아니할 수 없다.

전압격상을 위한 시나리오는 1)기존 전압 送電線으로 확장하는 案, 2)지역간의 신설 線路로 무조건 格上전압으로 건설하는 案, 3) 기존전압과 格上전압의 經濟性 을 格上후보 線路별로 비교하여 經濟성이 유리한 구간만 格上하는 案과 4)수송 능력이 대규모가 될 것으로 예상되어 기존전압으로 확장시 많은 경과지가 필요 한 구간의 線路를 格上전압으로 건설하고 다른 후보선로는 경제성이 높은 구간에 대해서만 格上하는 案이 있다.

경제성을 검토하는 방법으로는 첫째, 電力 계통의 두지점간 電力 流通量에 따른 경비를 여러 송전전압별로 비교해보는 二点法 (2-point method)를 사용하여 송전거리, 송전전력이 변함에 따른 전압별 경제성 변화의 추세를 알아본 후, 둘째, 이 방법을 確定 후보선로 각각에 적용하여 全 계통 확장의 경제성을 앞에서 언급된 시나리오별로 검토하는 것이 일반적이다.[2]

2. 최적 전압 계산

송전선로의 최적전압과 해당 線路의 도체크기는 送電費用을 최소화하도록 구하는데, 送電費用은 송전선로와 관련 变電所 및 變壓器의 建設費用으로 구성되는 資本費用(capital cost)과 線路의 電力損失을 보상하고자 공급하는 發電費用(loss cost)으로構成된다.[3]

2.1 송전선로 費用

송전선로의 費用은 일반적으로 다음과 같은 式으로 주어진다.

$$C_1 = a + b * t * V + c * n * t * s + d * G \quad (1)式$$

여기서, a, b, c, d는 여러가지 전압별, 線路別 데ータ에서 구해지는 상수

이다.

| |
|------------------------|
| t = 회선수 |
| n = 상당 개별도체의 수 |
| s = 개별 도체의 단면적 (sqmm) |
| V = 線路의 전압 (kV) |
| G = 접지선의 전체 단면적 (sqmm) |

아래와 같은 가정하에서 좀더 실용적으로 사용할 수 있는 式을 구할 수 있다.
즉, 접지선의 단면적이 최적화 계산過程에서 별로 영향을 주지 않으므로 접지선 費用을 무시하고, 상당 개별도체의 수가 일정하고 각 상당 전체 도체 단면적을 S로 표시할때, 전 회선의 km당 費用은 다음과 같다.

$$C_1 = A + B * V + C * S \quad (2)式$$

| | |
|------|---------------|
| 여기서, | S = n * t * s |
| | B = b * t |
| | C = c |

2.2 損失費用

km당 損失費用은

$$C_{1s} = 3\rho / S \cdot I^2_{max} \cdot M \quad (3)式$$

Pmax = 全 회선이 送電할 수 있는 최대電力 (MVA)

$$\begin{aligned} I_{max} &= P_{max} \\ &\quad \frac{\sqrt{3}}{V} \times 1000 \\ C_{1s} &= \frac{3\rho}{S} \cdot \frac{P_{max}^2}{V^2} \cdot M \\ &= \frac{\rho}{S} \cdot \frac{P_{max}^2}{V^2} \cdot M \\ &= \frac{D}{S} \cdot \frac{1}{V^2} \end{aligned}$$

$$\begin{aligned} V &= 전압 (kV) \\ \rho &= 상도체의 저항률 (\Omega \cdot mm^2/km) \\ I_{max} &= 전체 회선의 최대電流 (Amperes) \\ S &= 전체 회선의 相導體의 총 단면적 (mm^2) \\ M &= 최대부하시 損失을 공급하기 위한 MW당 추가 發電費用 \\ D &= \rho P_{max}^2 \cdot M \end{aligned}$$

여기서 損失費用은 자본비와 변동비를 포함한 장기 增分發電費用(long term marginal generation cost)의 평균치이다.

2.3 電力設備 費用

변압기의 費用은 정격容量과 고압측 接續 전압의 函數이다.

$$C_t = K \cdot P^{\beta} \cdot V^{\delta} \quad (4) 式$$

K, α, β 상수값은 여러가지 다른 정격容量과 전압別變壓器의 가격으로부터 계산할 수 있다. 하나의 전원으로부터 1차 송전선을 경유하여 2차 送電線 또는 배전선으로 電力を 공급하는데 있어서 각각의 전압을 대응시키기 위한 변압기가 있어도 하나는 필요하기 마련이다. 발전기용 승압변압기 費用은 공급모선의 設備費用에 포함된다.

기타 送電所 기기, 즉 모선, 차단기, 메터, 보호계전계통 등을 송전선로의 km당 費用에 거의 영향을 주지 않기 때문에 費用 합수식에서 고려하지 않는다.

2.4 송전선로 費用

상기 (2), (3), (4)式에서 송전선로의 킬로메터당 費用은 다음과 같다.

$$C_t = A + B \cdot V + C \cdot S + \frac{D}{S} + E \cdot V^{\beta} \quad (5) 式$$

$$\text{여기서, } D = \frac{\rho P_{\max}^2 \cdot M}{K \cdot P_{\max}^{\beta}}$$

$$E = \frac{L}{K}$$

K = 변압기 費用 常數

L = 線路의 回路距離 (km)

P_{\max} = 全 回路의 最大送電電力 (MVA)

2.5 최적화 계산

상기 式(5)로 주어진 送電費用의 최소費用은 단면적에 대한 미분치와 전압에 대한 미분치가 각각 零일때 구해진다.

$$\frac{\partial C_t}{\partial S} = \frac{D}{S^2 V^2} = 0 \quad (6) 式$$

$$\frac{\partial C_t}{\partial V} = B - \frac{2D}{S V^3} + \frac{\beta E}{V^{1-\beta}} = 0 \quad (7) 式$$

위와 같은 편미분방정식을 푸는 것은

$$\Delta C_t = \frac{\partial C_t}{\partial S} \cdot dS + \frac{\partial C_t}{\partial V} \cdot dV \quad (8) 式$$

式의 영값을 구하는 것과 같다. 이와같은 式을 푸는 방법은 S 와 V 의 초기값을 가정하여 steepest descent method에 의해 $|\Delta C_t| < \epsilon$ (ϵ : 희망하는 정확도, 0.001)이 될때까지 반복해서 계산하는 것이다. 본 연구에서는 최근 PC용 페키지로 개발된 있는 MATLAB[5]를 사용하여 해를 구하였다.

2.6 사례연구

2.6.1 적용사례

기존 최대 송전전압이 220kV인 리비아 초고압 電力系統에서 차상위 送電전압 결정을 위한 사례연구를 수행하였다. 차상위 전압을 결정함에 있어 대상전압을 전 세계적으로 공정 표준전압이 220kV, 275kV, 345kV, 400kV, 500kV, 765kV, 1000kV로 사용되고 있음을 감안하여 승압전압 가능대상으로 400kV와 500kV로 한정하였고, 송전선로의 건설비용을 계산하였다.

400kV급과 500kV급 송전선로의 주요사양은 표 2와 같으며, 철립의 모양은 표 준형 수직현가 2회선 철립으로 하였다.

2.6.2 비용제수

표준 2회선 철립에 대하여 사용한 제수는 아래와 같다.

M(損失費用) ; 増分發電費用 4.5 cents/kWh으로 발전소 내용연수 25년동안 할인율 12%로 운전할 경우 kW당 발전원가 = 약 US\$2,000/kW

α : 변압기의 정격에 대한 지수제수 = 0.6724

β : 변압기의 전압에 대한 지수제수 = 0.9038

ρ : AAAC 도체의 저항율 = 40.8479 ohm.sqmm/km

2.6.3 최적 전압과 최적 도체단면적 계산

상기 2.5절의 최적화 계산 방법에 의해 送電전력(MVA)과 送電거리 (km)의 변화에 따른 최적 送電전압(kV)과 도체단면적(sqmm)을 구하였으며 이를 표 3과 그림 1에 표시하였다. 이 그림에서 보는 바와 같이 최적 送電전압과 최적 도체크기는 送電거리에는 거의 무관하며 送電전력에 비례함을 알 수 있다. 즉 최적전압과 최적 도체크기를 요약하면 100MVA 送電경우 172~174kV에 80~79 sqmm, 500MVA 送電경우 372~388kV에 185~177 sqmm, 1000MVA 送電경우 513~546kV에 269~253sqmm이다. 그러나 초고압 송전선로의 도체단면적은 코로나 損失이나 電流 容量, 安定度 限界와 같은 기술적 검토가 있는 뒤 실제 사용할 도체단면적을 결정하여야 한다.

2.6.4 送電容量

송전선로의 容量을 결정하는 때는 도체의 電流密度를 고려한 热的限界(thermal limit)와 씨지임피던스, 위상각차, 線路거리에 의한 安定度 限界를 고려하여야 한다. 상기 事例研究에서 다른 리비아 계통의 경우, 현재 사용 최고 전압인 220kV급 사용도체인 AAAC 413.5 sqmm, 2 bundle과 構上가능 대상 전압인 400kV와 500kV에서 사용가능한 AAAC 405 sqmm, 4 bundle에 대하여 热的限界와 安定度 限界를 계산하였으며 그림 2에 표시하였다.

(1) 热的限界 (Thermal limit)

| 도체 규격 | 電流密度 | 電流 容量 | 電流 容量 安定度 限界 |
|---------------------------|-------------------|--------|--------------|
| 220kV AAAC 2 x 413.5 sqmm | 1250 A (476 MVA) | 230 km | |
| 400kV AAAC 4 x 405 sqmm | 2152 A (1490 MVA) | 300 km | |
| 500kV AAAC 4 x 405 sqmm | 2152 A (1864 MVA) | 360 km | |

(2) 安定度 限界 (Stability limit)

$$\text{두 지점간의 最大 送電電力}(P_{12}) \text{는} \\ P_{12} = \frac{V_1^2}{Z_c \sin \theta_{12}} \cdot \frac{\sin \theta_{12}}{\sin \beta \ell}$$

여기서, Z_c : surge impedance, $\sqrt{L/C}$
 β : phase constant, $\omega \sqrt{L/C}$
 ℓ : line length

2.6.5 送電容量別 최적전압

기술적으로 채택 가능한 線路의 도체를 AAAC 405 sqmm, 4 bundle로 가정하였을 경우 送電電力별 최적 전압을 구하면 그림 3과 같다. 이 그림에서 보는 바와 같이 송전전력이 200 MVA 내지 400 MVA 급일 경우 220 kV 전압이 경계적이며, 800 MVA 내지 1000 MVA 급일 경우 400kV 전압이 次上位 構上전압으로 가장 經濟의이고 1000MVA를 초과할 경우는 500kV 전압이 가장 經濟의 임을 알 수 있다. 리비아 계통의 경우 약 20년간의 負荷 調査과 발전소 건설계획을 고려할 때 예상되는 2지점간의 最大 送電電力を 구하기 위하여 年度別 電力潮流 계산을 행하였으며, 이 결과 最大 送電電力이 1000MVA 이하로 예상되므로 次上位 構上전압으로서 400 kV를 선정하였다.

3. 결 론

본 研究에서는 신규로 송전선로를 건설하고자 할 경우 가장 경제적인 송전전압과 送電導體 斷面積을 결정하는 이론적 배경으로서 送電費用式의 최적화과정과 송전선로의 热的限界와 安定度 限界를 고려한 최적전압 결정방법을 제시하였다. 事例研究로서 리비아 초고압 전력계통의 次上位 전압 결정을 위하여 현실적으로 적용가능한 4 機導體 2 回路 線路의 送電거리와 送電容量別 최적전압을 제시하였다. 이와같은 경제적, 기술적 研究結果에 의해 리비아국의 次上位 송전전압을 400 kV로 결정하였다.

本 結論에서 제시한 연구결과가 앞으로 新設하고자 하는 송전선로를 기준으로 전압으로 유지하여야 할지, 또는 新規 전압으로 構上하여야 하는지와 같은 중요한 政策決定 수단으로 용용될 수 있게 되기를 기대한다.

(참 고 문 헌)

- [1] Bong-Hee Kim, Fathi M. Abuogarad, et al., A Study on the Voltage Selection for GECOL EHV Grid Network, July, 1993
- [2] 한국전력공사 전원계획처, 향후 대전력수송을 위한 장기계획 구성대책에 관한 연구(보고서 부록 II : 초고압 전압 격상의 경제성)
- [3] 신중린, 전문가 시스템을 이용한 최적 장기 송전계획에 관한 연구, 박사학위 논문 1989. 6
- [4] William H. Press, et al., Numerical Recipes in C, 2nd edition, Cambridge University Press, 1992
- [5] Westinghouse Electric Corp., Electrical Transmission and Distribution Reference Book, 1978
- [6] The Math Works, Inc. 386-MATLAB for 80386 personal computers, 1989

| Description | 400kV T/L | 500kV T/L |
|-----------------------------------|-----------------------------|--------------|
| No. of suspension insulator | 23 | 30 |
| No. of tension insulator | 28 | 35 |
| No. of conductor per phase | 4 bundle | 4 bundle |
| Conductor type | AAAC | AAAC |
| Conductor size (mm ²) | 405 | 405 |
| Stranding and wire dia.(no/mm) | Al 37/3.734 | Al 37/3.734 |
| Ampacity | 538 A | 538A |
| Tower type | Vertical 3ph double circuit | same as left |
| DC resis. at 20 deg C (ohm/km) | 0.0826 | 0.0826 |
| AC resistance(ohm/km) | 0.0833 | 0.0833 |
| Inductance (mH) | 0.82777 | 0.86227 |
| Capacitance (micro F) | 0.01363 | 0.01308 |

표 1. 400kV와 500kV 송전선로의 주요사항

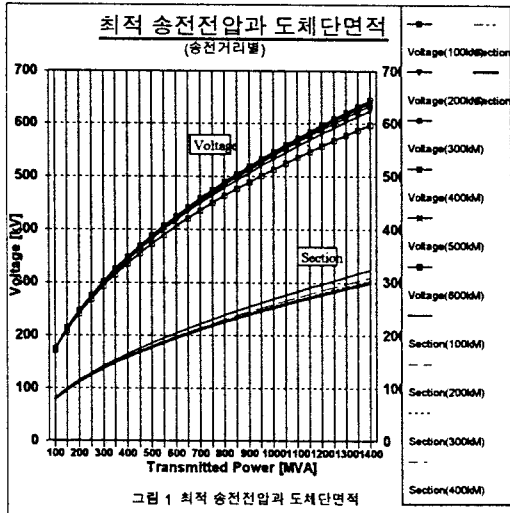


그림 1. 최적 송전전압과 도체단면적

T/L THERMAL & STABILITY LIMIT

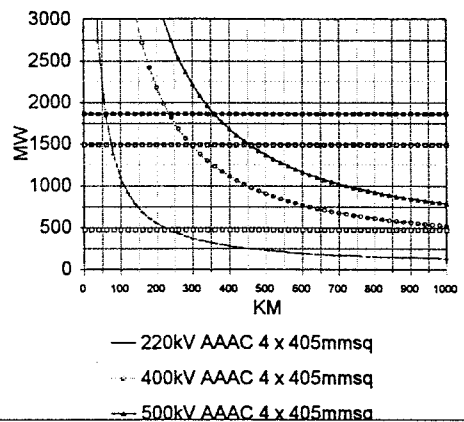


그림 2 송전선의 열적한계와 안정도 한계

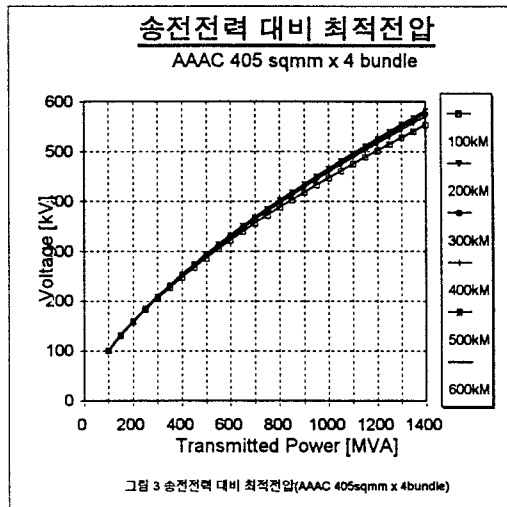


그림 3 송전전력 대비 최적전압(AAC 405sqmm x 4bundle)

그림 3. 송전전력 대비 최적전압